

Министерство высшего и среднего специального образования  
Р С Ф С Р

Горьковский ордена Трудового Красного Знамени  
научно-исследовательский радиопизический институт (НИРФИ)

---

П р е п р и н т № 298

НОВЫЙ ПАРАМЕТР  
В ТЕОРИИ ЭЛЕКТРИЧЕСКИХ ВИБРАТОРНЫХ АНТЕНН

Докучаев В.П.

Горький 1990

Д о к у ч а е в В. П.

"НОВЫЙ ПАРАМЕТР В ТЕОРИИ ЭЛЕКТРИЧЕСКИХ ВИБРАТОРНЫХ  
АНТЕНН" // Препринт № 298 . — Горький, НИРЭИ, — 1990.

УДК 621.396.67

Предложен новый приближенный метод решения основного интегрального уравнения теории тонких электрических вибраторов. В качестве большого параметра в приближенной теории фигурирует волновое сопротивление провода, образующего плечи антенны. Получено выражение для распределения электрического тока в антенне, и формулы для входного импеданса симметричного электрического вибратора. Проведено качественное сопоставление полученных результатов с аналогичными данными других работ.

Новый параметр в теории электрических вибраторных антенн.

В.П. Докучаев

Современная теория и методы расчета характеристик электрических вибраторных антенн базируются на приближенном решении интегро-дифференциального уравнения для электрического тока в металлических проводниках антенны [1-5]. Строгое решение этого уравнения получить не удастся, вследствие больших математических трудностей, которые подробно обсуждаются в работах 4, 6.

Здесь предложен новый приближенный метод решения основного интегрального уравнения теории тонких антенн. Метод основан на некоторой модификации преобразования интегрального уравнения, которая приводит к новому большому параметру в теории антенн. Отмечено, что этот параметр просто связан с характеристическим импедансом одиночного металлического проводника.

Будем считать, что симметричный линейный вибратор ориентирован по оси  $z$  декартовой прямоугольной системы координат  $x, y, z$  и запитывается в центре сторонней э.д.с., как указано на рис. 1. При этом распределение электрического тока  $I(z)$

должно удовлетворять условию симметрии

$$I(z) = I(-z) \quad (1)$$

Плечи симметричного вибратора, каждое длиной  $L$ , образованы тонкими металлическими проводниками одинакового радиуса  $a$ . Возбуждение вибратора осуществляется сторонней электродвижущей силой  $\mathcal{E}$ ,

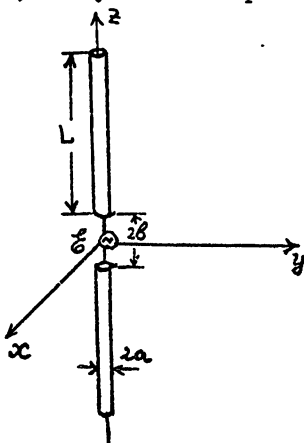


Рис. 1.

приложенной на малом отрезке длины  $2b$  вблизи центра вибратора. Условия тонкости вибратора и малости величины зазора в приближенной теории тонких антенн имеют вид

$$a \ll b \ll L, \quad \Omega_0 = 2 \ln(2L/a) \gg 1, \quad (2)$$

$$ka \ll 1, \quad 2 \ln(2/ka) \gg 1, \quad (3)$$

где  $k = \omega/c = (2\pi/\lambda)$  - волновое число,  $\omega$  - частота волны,  $c$  - скорость света в вакууме.

В указанной постановке задача о распределении тока по длине вибратора в серии работ Галена, Леонтовича и Левина, Хинга и Миддлетона была сведена к интегродифференциальному уравнению теории тонких антенн [1-5]:

$$\frac{i}{4\pi\omega\epsilon_0} \left( \frac{d^2}{dz^2} + k^2 \right) \int_{-L}^{+L} \frac{I(z') e^{-ik\sqrt{(z-z')^2+a^2}} dz'}{\sqrt{(z-z')^2+a^2}} = \mathcal{L} \delta(z). \quad (4)$$

Здесь использована система СИ,  $\epsilon_0$  - диэлектрическая постоянная этой системы,  $\delta$  - символ функции Дирака. Уравнение (4) дополняется граничными условиями для тока на концах вибратора

$$I(L) = I(-L) = 0. \quad (5)$$

Решение дифференциального уравнения в (4) относительно интеграла выполняется с учетом условия симметрии (I) :

$$\int_{-L}^{+L} \frac{I(z') e^{-ik\sqrt{(z-z')^2+a^2}} dz'}{\sqrt{(z-z')^2+a^2}} = -\frac{2\pi i}{\mathcal{L}_0} \left( \mathcal{L} \sin k|z| + C \cos kz \right), \quad (6)$$

где  $C$  - постоянная интегрирования и  $\mathcal{L}_0 = (\mu_0/\epsilon_0)^{1/2}$  - характеристическое сопротивление свободного пространства.

Приближенные способы решения интегрального уравнения (6) - центральная проблема теории электрических вибраторных антенн

[I-7]. Здесь предлагается следующий способ приближенного решения (6). Ядро этого интегрального уравнения

$$\frac{e^{-ikR'}}{R'} = \frac{\cos(kR')}{R'} - i \frac{\sin(kR')}{R'}, \quad (7)$$

$$R' = \sqrt{(z-z')^2 + a^2}$$

таково, что его реальная часть при  $a \rightarrow 0$  и  $z \rightarrow z'$  неограниченно возрастает, т.е. имеет особенность. Мнимая часть ядра такой особенностью не обладает. В связи с этим проведем "регуляризацию" подынтегрального выражения в (6) следующим образом

$$\int_{-L}^{+L} \frac{I(z') e^{-ikR'}}{R'} dz' \equiv I(z) \int_{-L}^{+L} \frac{\cos(kR')}{R'} dz' +$$

$$+ \int_{-L}^{+L} \frac{[I(z') - I(z)] \cos(kR') - i I(z') \sin(kR')}{R'} dz'. \quad (8)$$

Далее воспользуемся условием тонкости антенны (2) при вычислении второго интеграла в (8) :

$$\int_{-L}^{+L} \frac{\cos(kR')}{R'} dz' \approx \Omega_1 + G(z) \quad (9)$$

где введено обозначение  $\Omega_1$  для нового основного большого параметра

$$\Omega_1 = 2 \ln(2L/a) - 2 \text{Cin}(\kappa L) \quad (10)$$

Функция  $\text{Cin}(x)$  хорошо известна в теории тонких антенн и в теории специальных функций ( см., например, [4,8] ). Она просто связана с интегральным косинусом  $\text{Ci}(x)$

$$\text{Cin}(x) = \int_0^x \frac{1 - \cos t}{t} dt = \ln x + \gamma - \text{Ci}(x), \quad (\text{II})$$

$$\text{Ci}(x) = - \int_x^{\infty} \frac{\cos t}{t} dt,$$

$\gamma = 0,577$  — постоянная Эйлера. Из соотношения (I0) и (II) следует, что при  $\kappa L \ll 1$   $\Omega_1 \approx \Omega_0 = 2 \ln(2L/a)$ . В другом предельном случае, когда  $\kappa L \gg 1$  и  $\text{Cin}(x) \approx \ln x$  из (8) и (9) следует, что  $\Omega_1 \approx 2 \ln(2/\kappa a)$ . Таким образом новый большой параметр зависит от частоты волны и изменяется в пределах

$$2 \ln(2/\kappa a) \lesssim \Omega_1 \lesssim \Omega_0 \quad (\text{I2})$$

Функция  $\mathfrak{G}(z)$  в представлении (9) определяется соотношением

$$\mathfrak{G}(z) = \int_{-L}^{+L} \left[ \frac{\cos(\kappa R')}{R'} - \frac{\cos(\kappa R_0)}{R_0} \right] dz', \quad (\text{I3})$$

$$R_0 = \sqrt{z'^2 + a^2}.$$

ясно, что  $\mathfrak{G}(0) = 0$ .

С помощью соотношения (9) основное интегральное уравнение (6) переписываем в виде

$$I(z) = - \frac{2\pi i}{\Omega_0 \Omega_1} \left[ E \sin \kappa |z| + C \cos \kappa z \right] - \frac{\mathfrak{G}(z)}{\Omega_1} I(z) -$$

$$- \frac{1}{\Omega_1} \int_{-L}^{+L} \frac{[I(z') - I(z)] \cos(\kappa R') - i I(z') \sin(\kappa R')}{R'} dz', \quad (\text{I4})$$

Из этого соотношения проясняется физический смысл параметра  $\Omega_1$ . Первые два слагаемых в уравнении (I4), как известно, связаны с приближением длинных линий. Величина перед квадратными скобками в (I4) это волновое сопротивление одиночного провода в месте включения стержневой э.д.с., то-есть при  $z=0$  [3].

Способ решения уравнения (14) и нахождения константы с помощью граничного условия (5) совершенно аналогичен тому, который использовался в работах Галена и Кинга - это способ последовательных итераций [2,4]. Окончательное выражение для распределения тока  $I(z)$  имеет следующий вид:

$$I(z) = \frac{2\pi i \ell}{z_0 \Omega_1} \left\{ \frac{\left[ f_0(z) + \frac{f_1(z)}{\Omega_1} + \dots \right] \left[ G_0(L) + \frac{G_1(L)}{\Omega_1} + \dots \right] - \left[ g_0(z) + \frac{g_1(z)}{\Omega_1} + \dots \right] \left[ F_0(L) + \frac{F_1(L)}{\Omega_1} + \dots \right]}{\left[ F_0(L) + \Omega_1^{-1} F_1(L) + \dots \right]} \right\} \quad (15)$$

Здесь использованы обозначения

$$\begin{aligned} F_0(z) &= \cos \kappa z, & G_0(z) &= \sin \kappa |z|, \\ f_0(z) &= F_0(z) - F_0(L), & g_0(z) &= G_0(z) - G_0(L), \\ f_1(z) &= F_1(z) - F_1(L), & g_1(z) &= G_1(z) - G_1(L), \end{aligned} \quad (16)$$

а функции  $F_1(z)$  и  $G_1(z)$  определяются интегралами

$$F_1(z) = - \int_{-L}^{+L} \frac{[f_0(z') - f_0(z)] \cos(\kappa R') - i f_0(z') \sin(\kappa R')}{R'} dz' - \sigma(z) f_0(z) \quad (17)$$

$$G_1(z) = - \int_{-L}^{+L} \frac{[g_0(z') - g_0(z)] \cos(\kappa R') - i g_0(z') \sin(\kappa R')}{R'} dz' - \sigma(z) g_0(z) \quad (18)$$

В выражении для  $I(z)$  (13) в квадратных скобках отброшены члены порядка  $O(\Omega^{-2})$ . Таким образом соотношения (15)-(18) дадут новое приближенное решение задачи о распределении тока в антенне.

Для того чтобы сравнить полученные здесь результаты с расчетами Галена, Кинга и Мидльтона [2,4], найдем входной

$$Z_A = \frac{E}{I(0)} \quad (19)$$

Замечая, что  $(Z_0/2\bar{r}) \approx 60 \text{ Ом}$  и пользуясь соотношениями (15)-(19) окончательно находим, что

$$Z_A = -60i \Omega_1 \frac{\cos(\kappa L) + (\alpha/\Omega_1)}{\sin(\kappa L) + (\beta/\Omega_1)} \quad (20)$$

Здесь использованы обозначения, принятые в работах [2,4] и введены комплексные безразмерные параметры  $\alpha$  и  $\beta$  :

$$\alpha = \alpha_1 + i\alpha_2 \quad (21)$$

$$\alpha_1 = \frac{\cos \varphi}{2} [\text{Cin}(4\varphi) - 2\text{Cin}(2\varphi)] - \frac{\sin \varphi}{2} [\text{Si}(4\varphi)] \quad (22)$$

$$\alpha_2 = \frac{\cos \varphi}{2} [\text{Si}(4\varphi) - 2\text{Si}(2\varphi)] + \frac{\sin \varphi}{2} [\text{Cin}(4\varphi)] \quad (23)$$

Заметим, что эти выражения для  $\alpha_1$  и  $\alpha_2$  точно совпадают с формулами Гадена. Отличие имеет место для безразмерных комплексных

$$\beta = \beta_1 + i\beta_2 \quad (24)$$

$$\beta_1 = \frac{\cos \varphi}{2} [4\text{Si}(2\varphi) - \text{Si}(4\varphi)] + \frac{\sin \varphi}{2} [4\ln 2 + 2\text{Cin}(2\varphi) - \text{Cin}(4\varphi) - 4\text{Cin} \varphi] \quad (25)$$

$$\beta_2 = \frac{\cos \varphi}{2} [\text{Cin}(4\varphi) - 4\text{Cin}(2\varphi)] - \frac{\sin \varphi}{2} [\text{Si}(4\varphi) - 2\text{Si}(2\varphi)] \quad (26)$$

Здесь использовано стандартное обозначение для интегрального синуса

$$\text{Si}(x) = \int_0^x \frac{\sin t}{t} dt, \quad x = \kappa L.$$



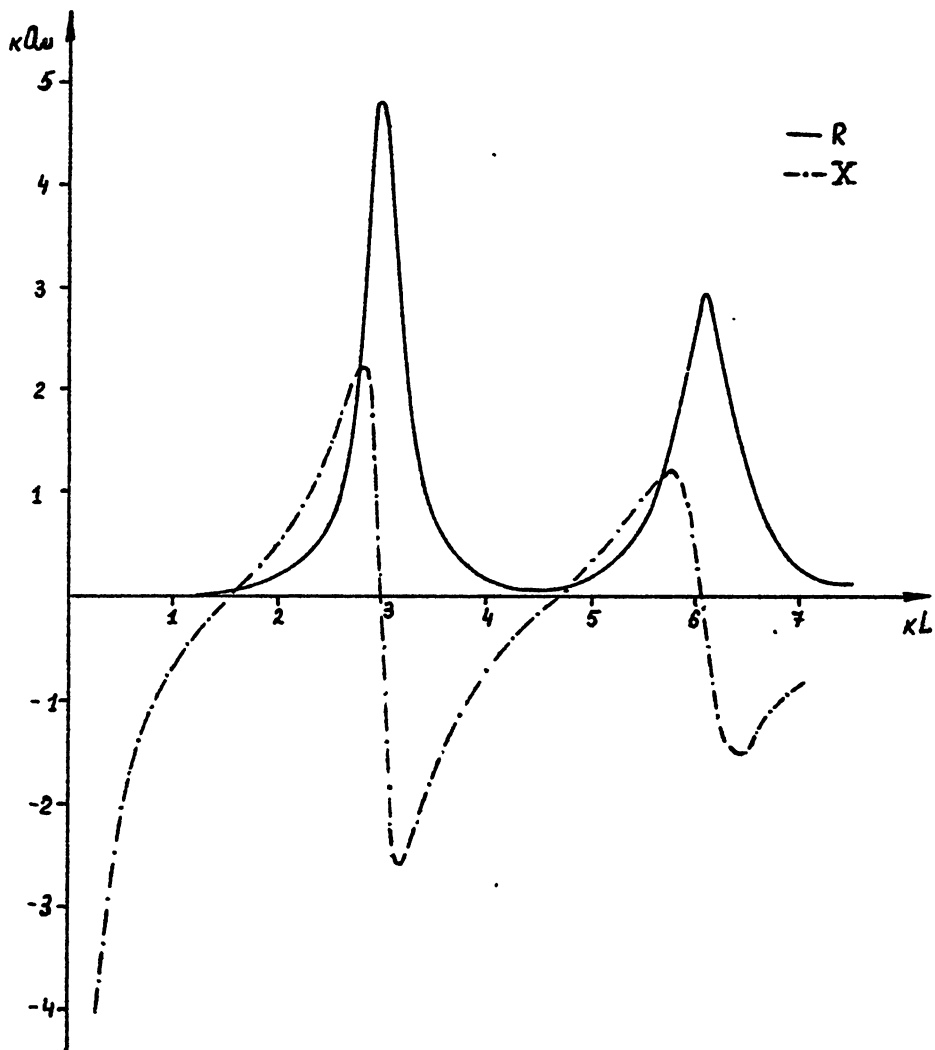


Рис. 2

Следует подчеркнуть, что отличие от аналогичных соотношений в приближении Галена содержится только в  $\beta_1$  и  $\beta_2$ . (последнее слагаемое в квадратных скобках перед  $\sin \alpha$  в (23).

Из проведенного рассмотрения ясно, что основное отличие полученных результатов от ранее известных следует ожидать для антенн сравнительно большой длины при  $\alpha = \kappa L \gg 1$ . Для коротких антенн ( $\kappa L \ll 1$ ) результаты полностью совпадают с [2].

На рис. 2 в качестве иллюстрации зависимости входного импеданса вибратора от частоты приведены графики функции  $R(\omega)$  и  $X(\omega)$  для случая  $\beta_0 = 20$ ,  $Z_A = R(\omega) + iX(\omega)$ . Точки  $X = 0$  соответствуют резонансам токов и напряжений в антенне. Заметим, что результаты расчетов по формулам (20)–(26) для указанного значения  $\beta_0 = 20$  при  $\kappa L \lesssim 3$  с достаточной степенью точности совпадают с результатами расчета  $Z_A$  по формулам приближения Кинга-Миддлтона с учетом членов второго порядка. Значительные расхождения (до 20% и более) появляются при  $\kappa L \approx 5$ .

В заключение благодарю Э.Б.Можухина за помощь при выполнении расчетов.

#### Л и т е р а т у р а

1. М.Леонтович, М.Левин. К теории возбуждения колебаний в вибраторах антенн. //Т.техн.физики, 1944, 14, № 9, с. 481–506.
2. Арони И. Антенны, пер. с англ. под ред. Шпунова А.И. М.: Сов. радио, 1951.
3. Щелкунов С., Эрис Г. Антенны. – М.: Сов.радио, 1955, с. 233.
4. King R.W.P. *The Theory of Linear Antennas.* – Harv. Univ. Press, Camb. Massach., 1956.
5. Драбкин А.Л., Зузенко В.Л. Антенно-фидерные устройства. – М.: Сов.радио, 1961.
6. Вайнштейн Л.А. Электромагнитные волны. – М.: Радио и связь, 1988.
7. Нарков Г.Т., Сазонов Д.М. Антенны. – М.: Энергия, 1975.
8. Справочник по специальным функциям. Под ред. М.Абрамовица и И.Стигана. – М.: Наука, 1979.

Владимир Платонович Докучаев

НОВЫЙ ПАРАМЕТР  
В ТЕОРИИ ЭЛЕКТРИЧЕСКИХ ВИБРАТОРНЫХ АНТЕНН

---

Подписано к печати 18.12.89 г. МЦ 00966 . Формат 60x84/16  
Бумага писчая. Печать офсетная. Объем 0,55 усл.п.л.  
Заказ 5010. Тираж 120. Бесплатно.

---

Отпечатано на ротапринте НИРФИ